

4 Équ différentielles ordinaires (EDO, anglais: ODE)

- I exemples :
- $\ddot{x} = -g$ chute libre
 - $\ddot{x} = -\sin x$ pendule
 - $\ddot{\vec{r}}_i = \sum_j \frac{Gm_j}{r_{ij}^3} (\vec{r}_j - \vec{r}_i)$ N corps en interaction gravitationnelle
 - $\dot{U} = -\frac{1}{RC} U$ décharge condensateur
 - $\begin{cases} \dot{H} = rH - aHP \\ \dot{P} = bHP - mP \end{cases}$ modèle proie(H) - prédateur(P) de Lotka - Volterra

on cherche $x(t), \vec{r}_i(t), U(t), H(t), P(t), \dots$

II idée bien posé ? non : manque condit° initiale ou aux bords !

résolut° numérique : idée $U(t) \approx U(0) + \dot{U}(0)dt + O(dt^2)$

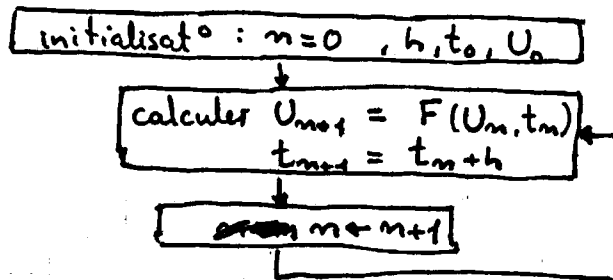
[~~une~~ EDO $\dot{U} = f(U, t)$ nous donne $\dot{U}(0)$]

→ discretisat° du temps $t_m = m \cdot h$, h : pas de temps, $m=0, 1, 2, \dots$

→ ~~résolution~~ + intégrateur $U(t_{m+1}) = F(U(t_m), t_m)$

⇒ construct° d'une suite ~~de~~ $U_m = U(t_m), m=0, 1, 2, \dots$

par l'algorithme de d'Euler :



La suite $U_m, m=0, 1, 2, \dots$ sera un approximat° de la fonction $U(t)$

remarques :

* ~~ce~~ ~~reste~~ algorithme fonctionne aussi pour une collection

de fonctions $\vec{U} = \begin{pmatrix} U^{(1)} \\ U^{(2)} \\ \vdots \\ U^{(m)} \end{pmatrix}, \dot{\vec{U}} = f(\vec{U}, t)$

ex: $\ddot{\vec{r}}_i = \sum_j \frac{Gm_j}{r_{ij}^3} (\vec{r}_j - \vec{r}_i)$ N corps, ~~ce~~ → $\vec{U} = \begin{pmatrix} x_1 \\ y_1 \\ z_1 \\ x_2 \\ y_2 \\ z_2 \\ \vdots \\ \vdots \end{pmatrix} \begin{matrix} \} r_1 \\ \} r_2 \\ \vdots \end{matrix}$

ou $\begin{cases} \dot{H} = rH - aHP \\ \dot{P} = bHP - mP \end{cases} \Rightarrow \vec{U} = \begin{pmatrix} H \\ P \end{pmatrix}$

→ pas de différence entre équ. simple et système d'équations!

* équ du second ordre \rightarrow système d'équ. d'ordre 1

ex: $\ddot{x} = -\frac{k}{m}x$ (masse - ressort)

introduire une deuxième quantité à intégrer: la vitesse $v(t)$

\Rightarrow équ d'évolution pour x et v : $\dot{x} = v$
 $\dot{v} (= \ddot{x}) = -\frac{k}{m}x$ EDO d'ordre 1

* généralement:

- ordre 2 : $\ddot{x} = f(x, \dot{x}, t)$ introduire $\bullet v = \dot{x}$

\Rightarrow $\dot{x} = v$
 $\dot{v} = f(x, v, t)$

- ordre n : $x^{(n)} = f(x, \dot{x}, \ddot{x}, \dots, x^{(n-1)}, t)$ introduire $u_1 = x'$
 $u_2 = x''$
 \vdots
 $u_{n-1} = x^{(n-1)}$

\Rightarrow $x' = u_1$
 $u_1' = u_2$
 $u_2' = u_3$
 \vdots
 $u_{n-1}' = f(x, u_1, u_2, \dots, u_{n-1}, t)$

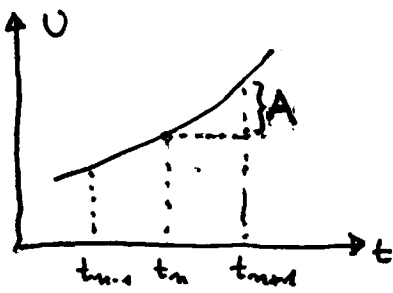
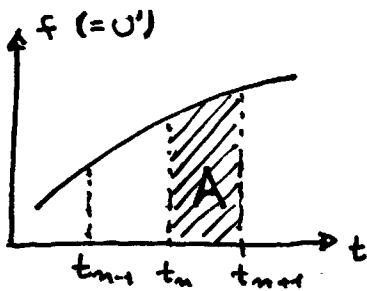
- ~~rendre~~ rendre équ autonome: $\dot{\vec{x}} = \vec{f}(\vec{x}, t)$ introduire $\vec{U} = \begin{pmatrix} x_1 \\ x_2 \\ \vdots \\ x_n \\ t \end{pmatrix} \left\{ \begin{matrix} \vec{x} \\ t \end{matrix} \right. = \begin{pmatrix} \vec{x} \\ t \end{pmatrix}$

no $\bullet \frac{d}{dt} \vec{U} = \begin{pmatrix} \frac{d}{dt} \vec{x} \\ \frac{dt}{dt} \end{pmatrix} = \begin{pmatrix} \vec{f} \\ 1 \end{pmatrix} = \vec{g}(\vec{U})$

\uparrow ne dépend plus de t explicitement: syst autonome

III intégrateurs explicites

solution exacte: $U_{n+1} = U_n + \int_{t_n}^{t_{n+1}} f(U(t), t) dt$



① Euler : $A \approx h \cdot f(U_m, t_m)$ (développé linéaire \Rightarrow erreur $O(h^2)$)

② Euler modifié : $A \approx h \cdot f(U(t_m + \frac{h}{2}), t_m + \frac{h}{2})$

utiliser ① pour calculer $U(t_m + \frac{h}{2}) \approx U_m + \frac{h}{2} \cdot f(U_m, t_m)$

~~plus précis !~~

preuve : $U(t+h) = U(t + \frac{h}{2}) + \frac{h}{2} U'(t + \frac{h}{2}) + \frac{(\frac{h}{2})^2}{2} U''(t + \frac{h}{2}) + O(h^3)$

$U(t) = U(t + \frac{h}{2}) - \frac{h}{2} U'(t + \frac{h}{2}) + \frac{(\frac{h}{2})^2}{2} U''(t + \frac{h}{2}) + O(h^3)$

$\Rightarrow U(t+h) - U(t) = h \cdot U'(t + \frac{h}{2}) + O(h^3)$

$= h f(U(t + \frac{h}{2}), t + \frac{h}{2}) + O(h^3)$
 \uparrow
 $= U(t) + \frac{h}{2} U'(t) + O(h^2)$

$= h f(U(t) + \frac{h}{2} f(U(t), t) + O(h^2), t + \frac{h}{2}) + O(h^3)$
 $\Rightarrow O(h^3)$

$= h f(U(t) + \frac{h}{2} f(U(t), t), t + \frac{h}{2}) + O(h^3)$

③ ~~(beaucoup d'intégrateurs différents)~~

Runge-Kutta 4 : $k_1 = h f(U_m, t_m)$

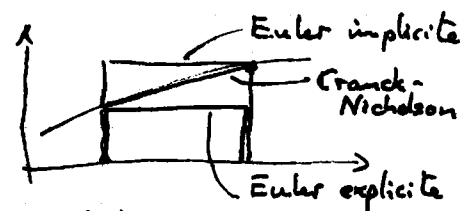
$k_2 = h f(U_m + \frac{k_1}{2}, t_m + \frac{h}{2})$

$k_3 = h f(U_m + \frac{k_2}{2}, t_m + \frac{h}{2})$

$k_4 = h f(U_m + k_3, t_m + h)$

$U_{m+1} = \frac{1}{6}(k_1 + 2k_2 + 2k_3 + k_4)$ précision : $\Rightarrow O(h^4)$!

④ ... (beaucoup d'intégrateurs différents)



① $A \approx h f(U_{m+1}, t_{m+1})$ Euler implicite

② $A \approx \frac{1}{2}h (f(U_m, t_m) + f(U_{m+1}, t_{m+1}))$ Crank-Nicholson

même précision que Euler explicite, mais plus stable

inconvenient : $U_{m+1} = U_m + h f(U_{m+1}, t_{m+1})$ (beaucoup) plus difficile à résoudre

convient quand ~~stabilité~~ schémas explicites ont

problème de stabilité

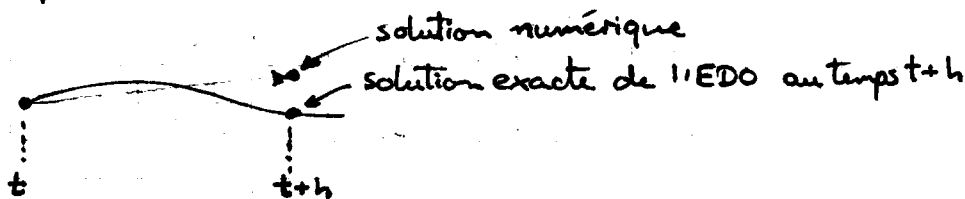
V stabilité

3 critères pour choisir d'un intégrateur :

- précision (fonction du pas de temps) c.f. plus haut (Euler: Ordre 1, RK4: Ordre 4, ...)
- stabilité (dépend du schéma d'intégration et des Équ. à intégrer)
- complexité de calcul [moins important]

ne pas confondre précision et stabilité :

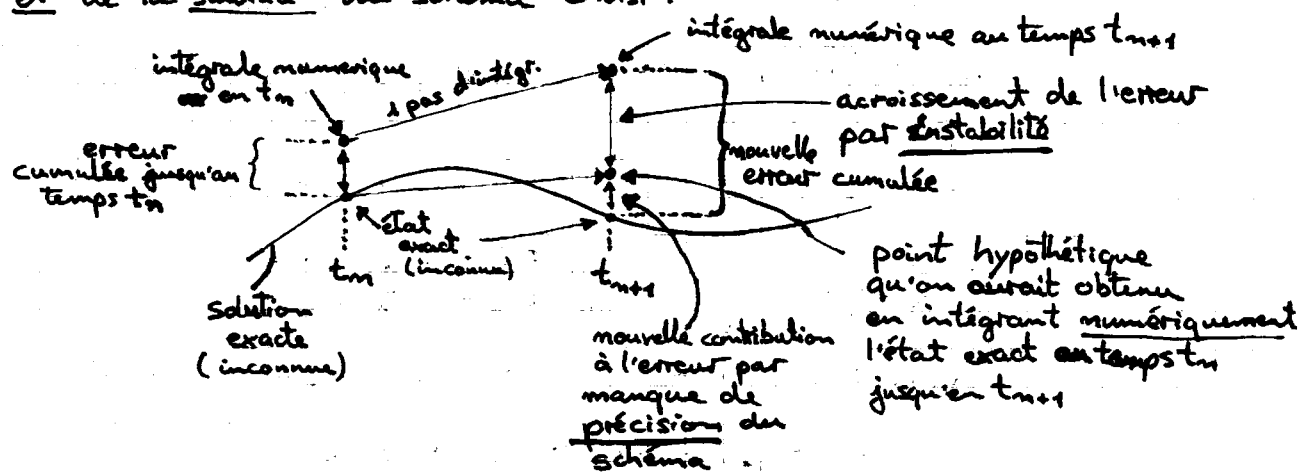
précision : partant d'un état initial exact, de combien s'en éloigne-t-on en 1 pas de temps ?



stabilité : est l'écart entre 2 états proches se creuse-t-il sous l'effet de l'intégration numérique ?



L'erreur faite lors d'une intégration numérique dépendra de la précision et de la stabilité du schéma choisi :



Soit $F : U_m \mapsto U_{m+1} = F(U_m, t_m)$ un schéma d'intégration et

U_m et \hat{U}_m deux états proches ($\delta_m = \hat{U}_m - U_m$ petit). Alors

$$\begin{aligned}
 \delta_{m+1} &= \hat{U}_{m+1} - U_{m+1} = F(\hat{U}_m, t_m) - F(U_m, t_m) \\
 &= F(U_m + \delta_m, t_m) - F(U_m, t_m) \\
 &\approx F(U_m, t_m) + \delta_m \frac{\partial F}{\partial U} \Big|_{U_m, t_m} - F(U_m, t_m) = \frac{\partial F(U_m, t_m)}{\partial U} \delta_m
 \end{aligned}$$

pas de temps h

définition: si $|A| > 1$ pour tout h , alors le schéma d'intégration F

est dit inconditionnellement instable

si $|A| < 1$ pour tout pas de temps h, alors le schéma F

est dit inconditionnellement stable

si $|A| < 1$ ~~seulement~~ pour $h < h^*$, alors F est dit conditionnellement stable

remarque: Dans le cas où on a plusieurs variables, $\vec{U}_{n+1} = \vec{F}(\vec{U}_n, t_n)$,

$A = \frac{\partial \vec{F}}{\partial \vec{U}}(\vec{U}_n, t_n)$ est une matrice (éléments $a_{ij} = \frac{\partial F_i}{\partial U_j}(\vec{U}_n, t_n)$) et

il faut considérer ses valeurs propres pour connaître la stabilité.

exemples: ① système masse-ressort en Euler explicite

$$\begin{aligned} \dot{x} &= v && \text{discret.} && x_{n+1} &\approx x_n + h v_n \\ \dot{v} &= -\frac{k}{m} x && \Rightarrow \text{Euler expl.} && v_{n+1} &\approx v_n + h \left(-\frac{k}{m} x_n\right) \end{aligned} \Leftrightarrow \begin{pmatrix} x_{n+1} \\ v_{n+1} \end{pmatrix} = \frac{h}{k} \vec{F} \begin{pmatrix} x_n \\ v_n \end{pmatrix}$$

t_n n'intervient pas

$$\Rightarrow A = \begin{pmatrix} \frac{\partial F_x}{\partial x} & \frac{\partial F_x}{\partial v} \\ \frac{\partial F_v}{\partial x} & \frac{\partial F_v}{\partial v} \end{pmatrix}_{\substack{x=x_n \\ v=v_n}} = \begin{pmatrix} 1 & h \\ -h\frac{k}{m} & 1 \end{pmatrix}$$

Valeurs propres solution de $\det(A-\lambda) = \lambda^2 - \text{Tr}A \cdot \lambda + \det A = 0$

$$\lambda^2 - 2\lambda + 1 + \frac{k}{m} h^2 = 0 \Rightarrow \lambda_{1/2} = 1 \pm i\sqrt{\frac{k}{m}} h$$

$$|\lambda_{1/2}| = \sqrt{1 + \frac{k}{m} h^2} > 1 \Rightarrow \text{inconditionnellement instable}$$

② système masse-ressort, en Euler implicite

$$\begin{aligned} \dot{x} &= v && \text{discret.} && x_{n+1} &\approx x_n + h v_{n+1} \\ \dot{v} &= -\frac{k}{m} x && \Rightarrow \text{Euler implicite} && v_{n+1} &\approx v_n + h \left(-\frac{k}{m} x_{n+1}\right) \end{aligned}$$

en substituant l'une dans l'autre ces équ., on obtient

$$x_{n+1} = \frac{1}{1 + \frac{k}{m} h^2} (x_n + h v_n) =: F_x(x_n, v_n)$$

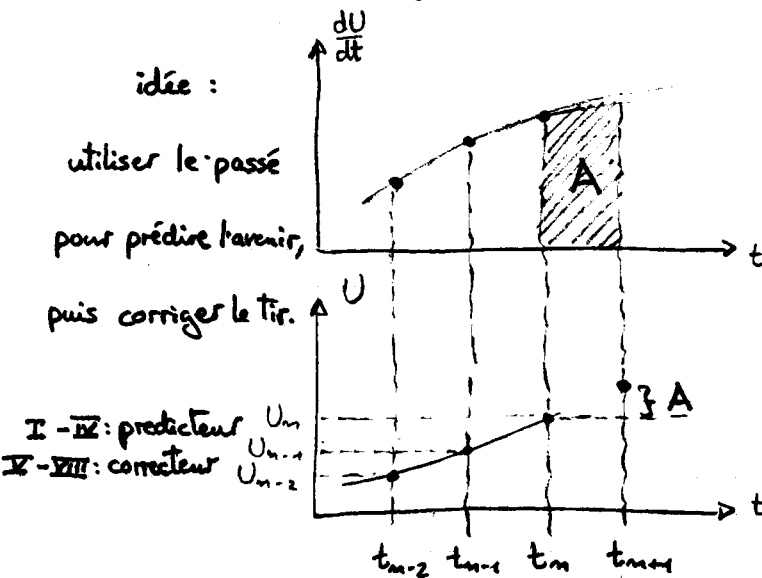
$$v_{n+1} = \frac{1}{1 + \frac{k}{m} h^2} (v_n - h \frac{k}{m} x_n) =: F_v(x_n, v_n)$$

$$\Rightarrow A = \alpha \begin{pmatrix} 1 & h \\ -h\frac{k}{m} & 1 \end{pmatrix} \text{ avec } \alpha = \frac{1}{1 + \frac{k}{m} h^2}$$

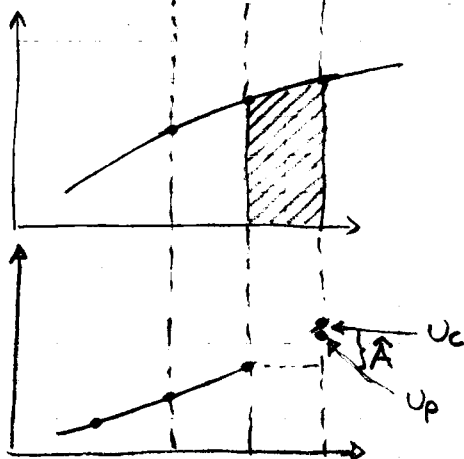
$$\Rightarrow \text{valeurs propres } \lambda_{1/2} = \alpha(1 \pm i\sqrt{\frac{k}{m}} h), \quad |\lambda_{1/2}| = \frac{1}{\sqrt{1 + \frac{k}{m} h^2}} < 1 \text{ pour tout } h$$

\Rightarrow schéma inconditionnellement stable

VI schémas d'intégration prédicteur-correcteurs



- I ajuster un polynôme aux trois points les + récents de la dérivée (U'_{m-2}, U'_{m-1}, U'_m)
- II l'extrapoler ~~par~~ jusqu'à t_{m+1} et intégrer sous la courbe pour obtenir A
- III On obtient ~~le point~~ une estimation («prédiction») $U_p = U_m + A$ du nouveau point en t_{m+1}
- IV calculer $U'_{m+1} = f(U_p, t_{m+1})$,



La correction apportée par l'étape «correcteur» (IV-VII), $|U_c - U_p|$, ~~précise~~ donne une idée de la précision du calcul.

- En pratique:
- ① prédiction $U_{m+1,p} = U_{m-2} + \frac{4h}{3}(2U'_{m-2} - U'_{m-1} + 2U'_m)$
(résultat des étapes I-III, en utilisant une parabole)
 - ② estimation de $U'_{m+1,p} = f(U_{m+1,p}, t_{m+1})$
 - ③ correction $U_{m+1,c} = U_{m-1} + \frac{h}{3}(U'_{m-1} + 4U'_m + U'_{m+1,p})$
 - ④ vérifier que $\frac{|U_{m+1,p} - U_{m+1,c}|}{20}$ n'est pas trop grand
 - ⑤ (optionnel:) répéter ②③ pour obtenir de nouvelles estimations
 - ⑥ accepter $U_{m+1} := U_{m+1,c}$ et $U'_{m+1} := f(U_{m+1,c}, t_{m+1})$ comme nouveaux points et boucler sur ① (après $m \rightarrow m+1$).

2 remarques: * si la correction $|U_{m+1,p} - U_{m+1,c}|$ est faible, on peut augmenter le pas de temps \rightarrow schémas à pas adaptatif

* Si on n'a qu'un point au départ, il faut utiliser un autre schéma (ou développement Taylor) pour générer suffisamment de points pour amorcer cet algo.